

دراسة بارامترات تخطيط جذع الدماغ السمعي الكهربائي عند الأطفال بعد إجراء زراعة الحزون

علاء يوسف داؤود^{1*}

*. مهندس حاصل على إجازة وماجستير في الهندسة الطبية - جامعة دمشق.

alaadaood@Damascusuniversity.edu.sy

الملخص:

تعتبر زراعة الحزون (Cochlear Implant CI) من العمليات الجراحية الدقيقة والتي تتطلب خبرة كبيرة في جراحة الأذن المجهرية بالإضافة إلى تكلفتها الباهظة لذلك كان من المهم جداً اختبار إلكترودات الحزون المزروع بعد الزرع، وخلال حياة الطفل بشكل دوري خلال فترات زمنية محددة بحسب نتائج التقييم السمعي للطفل، للتأكد من عمل الإلكترودات كل على حدة وذلك من خلال دراسة بارامترات تخطيط جذع الدماغ السمعي الكهربائي الناتج. من هنا جاءت فكرة البحث وأهميته بتطبيق وتجريب اختبار تخطيط جذع الدماغ الكهربائي eABR (Electric Auditory Brainstem Response) الذي يعتبر الاختبار المعتمد عالمياً لإجراء فحص إلكترودات الحزون المزروع كلاً على حدة.

المواد والطرائق: تم تطبيق اختبار eABR على خمسة عشر طفل تم زراعة الحزون لهم في المنظمة السورية للأشخاص ذوي الإعاقة - - أمال في سوريا، تتراوح أعمارهم بين (4-9) سنوات وال عمر السمعي Hearing Age بين (2-6) سنوات، وذلك بعد تجهيز مختبر الدراسة بالأجهزة اللازمة للاختبار ووضع البروتوكول الخاص بإجراء تطبيق اختبار تخطيط جذع الدماغ السمعي الكهربائي eABR.

النتائج: أظهرت النتائج كفاءة الاختبار في فحص إلكترودات الحزون المزروع لدى الأطفال والتأكد من أداء عملها، ومقارنة النتائج مع حالة المريض السمعية (تخطيط السمع - تمييز الكلام - النطق - التواصل الاجتماعي...) وحالة المريض الصحية (الاختلالات في أشأن الجراحة أو بعدها - الشوهات الموجودة في الحزون الطبيعي - التعرض لالتهابات حادة - رضوض...)، بالإضافة إلى النتيجة التي تتألخص بعدم تأثر أداء إلكترودات الحزون المزروع بطول مدة بقاء الزرعة خلال حياة الطفل، لم تظهر النتائج علاقة واضحة بين سعة الموجة الخامسة V ومعدل تمييز الكلام WRS (Word Recognition Score) وهناك علاقة بين غياب الموجة الخامسة V ومعدل تمييز الكلام، وتم التوصل إلى علاقة طردية بين شدة تيار التبيه المطبق على الحزون المزروع وبين مطال واتساع الموجة الخامسة من مخطط الناتج eABR.

تم إجراء تحليل إحصائي للعينة المدروسة وتبين من خلاله أن هناك ارتباط بسيط بين العمر السمعي مع عتبة تمييز الكلام (SRT Speech Recognition Thresholds)، إضافة إلى وجود ارتباط بين معدل العتبة السمعية (PTA Pure Tone audiometer Average) وبين عتبة تمييز الكلام SRT، ولم يظهر التحليل ارتباط واضح بين سعة الموجة V مع كل من PTA, SRT (قد تتطلب دراسة هذا الإرتباط حجم عينة أكبر).

الكلمات المفتاحية: زراعة الحزون، التقييم السمعي، حاسة السمع، استجابة جذع الدماغ السمعي الكهربائي، اس تجابة جذع الدماغ.

تاريخ الإيداع: 2022/12/6
تاريخ القبول: 2023/7/16



حقوق النشر: جامعة دمشق -
سوريا، يحتفظ الملفون بحقوق
النشر بموجب CC BY-NC-SA

Study of Electric Auditory Brainstem Response Parameters in Children after Cochlear Implant

Alaa Yossef Daoud*¹

*¹. Eng, Bio Medical Engineer Department –Damascus University- Syria.

alaadaood@Damascusuniversity.edu.sy

Abstract:

The cochlear implantation (CI) surgery is delicate surgery, which needs high experience in microscopic ear surgery. in addition to exorbitant cost it requires artificial cochlear price and cost of surgery. Besides cochlear implantation stay escort to the child during his life periodically, during specific periods of time, to be determined according to the results of the audio logical evaluation, for this reason, the idea of research comes to apply and study electric auditory brainstem response eABR test which is the only internationally approved test to check cochlear implant electrodes performance one by one, this is done by studding the parameters of eABR. Materials and Methods: we have been applied the eABR test to fifteen of Childs CI in Syrian organization for person with disabilities _ AMMAL in Syria, their ages are between (4-9) years old and hearing age between (2-6) years, after the study lab was equipped with necessary equipment for testing, and the protocol for the application of the eABR test was developed. The results: efficiency of the eABR test in checking the cochlear implantation electrodes and making sure of their performance, and comparing the results with the patient's auditory condition (e.g. hearing . pronunciation of letters, communicate with the community...) and patient's health condition(complications during and after the surgery, cases of inner ear malformation, exposure to sever infections, bruised), the other result is the implanted cochlear electrodes were not affected by the length of the implant's survival during the child's life, results did not appear clear relationship between the amplitude of wave V and the Word Recognition Score (WRS), there is a relationship between the absence of the wave V and Word Recognition Score, a positive relationship was reached between the applied stimulus intensity and amplitude of fifth wave in eABR graph, Statistical analysis was carried out for the studied sample, we found that there is a simple correlation between hearing age and Speech Recognition Thresholds(SRT),and there is correlation between PTA (Pure Tone audiometer Average) and SRT, the analysis did not show a clear correlation between the amplitude of wave V with both SRT and PTA (this association may require a larger sample size). the important practical results of research is the eABR test was applied for the first time in Syria and obtain accurate electrically stable auditory responses.

Keyword: CI (Cochlea Implant), Hearing Evaluation, Sense of Hearing, eABR (Electric Auditory Brainstem Response), ABR (Auditory Brainstem Response).

Received:6/12/2022

Accepted: 16/7/2023



Copyright: Damascus University- Syria, The authors retain the copyright under a CC BY- NC-SA

المقدمة:

دراسة مخطط جذع الدماغ الكهربائي حيث يتم تطبيق الاختبار على إلكترودات الحزون المزروع كل على حدة، وبالتالي يجر التأكيد من أداء عمل الحزون المزروع في تحقيق التببие الكهربائي المطلوب ونقل الإشارة كهربائياً إلى العصب السمعي ومنه إلى جذع الدماغ ليتم تفسير الأصوات بالشكل المطلوب.

أولاً- الدراسات المرجعية:

الدراسة الأولى:

قام بها نيكولاوس جيفارا وآخرون في وحدة السمعيات في قسم الأذن والأذن والحنجرة مستشفى إدوار هيربوبت في ليون- فرنسا عام (2016) بعنوان:

"تقييم الأداء التببوي للحزون المزروع بناء على التببие الكهربائي للحزون الذي يطبق من خلال اختبار A "eABR" Cochlear Implant Performance Prognostic Test Based on Electrical Field Interactions Evaluated by eABR (Electrical Auditory Brainstem Responses)". ناقشت الدراسة العلاقة بين أداء التعرف على الكلام ونسبة اتساع الموجة V من مخطط eABR، وجرى اعتماد طريقتين في اختبار eABR [2]:

1- اقتياست eABR مع التحفيز الكهربائي بواسطة تببие قطب (الكتروود). 2- قياسات eABR مع التحفيز الكهربائي بواسطة تببие الأقطاب الأربعية الممتدة على كامل الحزون المزروع CI طبق اختبار eABRs على 16 مريض زرعة 10 أشهر قبل الدراسة، وتم تقييم أداء التعرف على الكلام دون قراءة الشفاه لكل مريض، وعثر على ارتباطات كبيرة بين أداء التعرف على الكلام ونسبة اتساع الموجة الخامسة V من eABRs التي جرى الحصول عليها من خلال القياسين.

يبين الشكل (1) مخططات eABR في حال الإلكترودات الأربعية المتعددة (المخطط الأزرق) والمفردة (المخطط الأحمر).

إن حاسة السمع حاسة مهمة في الجهاز المعرفي البشري فهي تؤمن الاتصال اللغوي والثقافي مع المحيط الاجتماعي، وهي ترتبط بمراكيز التفكير العليا بالمخ ارتباطاً وثيقاً. تبدأ حاسة السمع بال تكون عند الجنين في الأسبوع الرابع من الحمل، والجنين يسمع بدءاً من الأسبوع 16 في الحياة الرحمية بنفس الآلية الفيزيولوجية للسمع بعد الولادة [1].

رغم خطورة فقدان حاسة السمع أو نقصها إلا أن هناك حلاً يتمثل: 1- تركيب معينات سمعية (Hearing Aids) في حال نقص السمع المتوسط أو الشديد. 2- زراعة حزون (Cochlear Implant CI) في حال نقص السمع العميق (فقدان السمع).

إلا أن هناك صعوبات ومخاطر لعملية زراعة الحزون: - فهي عملية دقيقة جراحياً لا تخلو من بعض الصعوبات والاختلالات الجراحية.

- تحتاج مهارة وخبرة عالية في جراحة الأذن المجهرية. - فضلاً عن الكلفة الباهظة المطلوبة التي تتضمن كلفة إجراء العملية الجراحية من جهة وثمن الحزون المزروع من جهة أخرى.

من هنا جاءت أهمية البحث في دراسة بارامترات تخطيط جذع الدماغ السمعي الكهربائي للأطفال بعد إجراء زراعة الحزون والتي يتم من خلالها التقييم السمعي للأطفال حيث يتم التأكيد من أداء الحزون المزروع ومراقبة عمله بعد عملية زراعة الحزون (CI) وخلال مدة حياة المريض بفترات تحدد بحسب التقييم السمعي للمريض.

إن التقييم السمعي بعد زراعة الحزون يجري من خلال اختبار الساحة الحرة Free Field للأطفال، والذي يجري خلال مراحل مختلفة من عمر الطفل عند القيام بالتأهيل السمعي الخاص بالحزون. إلا أن اختبار eABR له أهمية خاصة في

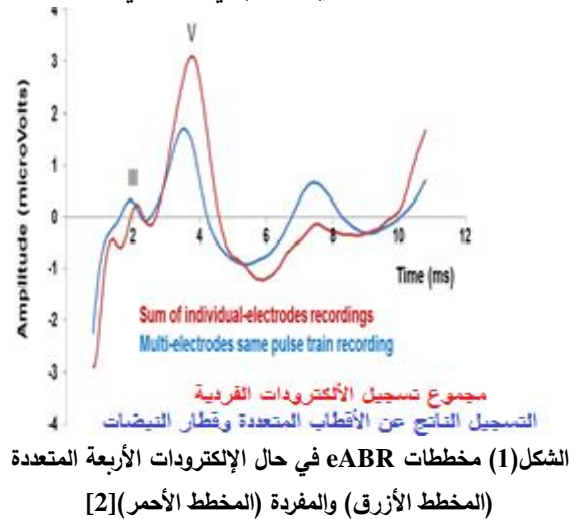
سمحت الدراسة بتقسيم التباين الكبير بين الأفراد في درجات التعرف وفهم الكلام عن طريق القياسات الكهربائية والعصبية المأخوذة بواسطة اختبار eABR [2] في الدراسة الثانية [3]:

قام بها فابيانا دانييلي وآخرون في العام 2022 بعنوان: "النتائج السريرية لاختبارات جذع الدماغ الكهربائي قبل عملية زراعة الحزون (الحزون المزروع) (Evo)" (Clinical Implications of Interoperative eABRs to the Evo-Cl electrode array recipients). تهدف هذه الدراسة إلى إنجاز مخططات استجابة جذع الدماغ الكهربائية الناتجة عن تبيه مصفوفة إلكترودات للحزون المزروع وذلك خلال عملية الزرع، وربط المخططات الناتجة مع المستويات السلوكية والأداء السمعي لمستخدمي الحزون المزروع.

تم تضمين واحد وعشرين مريضاً (9 إناث و12 ذكوراً) في الدراسة.

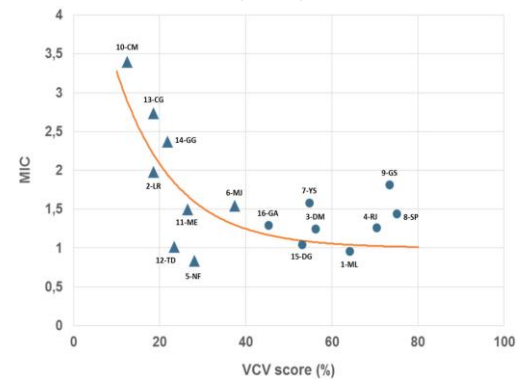
إن استجابة جذع الدماغ السمعي الكهربائي أثناء عملية الزرع سجلت من خلال تبيه مصفوفة إلكترودات الحزون المزروع لدى الأشخاص البالغين، سجلت بaramترات الموجتين الخامسة والثالثة III (من مطال الموجة- زمن تأخر ظهور الموجة- شكل الموجة (القمة)- الفترات الزمنية بين ظهور الموجتين) وذلك عند تبيه ثلاث إلكترودات مختلفة في التوضع: على الرأس (الموجب) والخشاء المقابل (مرجعي) والخد المماضي (الأرضي) بهدف الوصول إلى أصغر قيمة لمانعنة إلكترودات. تم مقارنة النتائج مع مقدار فهم والتعرف على الجمل وذلك بعد ستة أشهر من زراعة الحزون بالإضافة إلى مقارنة عتبات استجابة جذع الدماغ المسجلة مع مستويات محددة سلوكياً لمستخدمي الحزون المزروع عند تشغيل معالج الصوت.

يمثل (Monaural interaction component) MIC مكون التفاعل الأحادي الكهربائي العصبي.



يوضح الشكل (2) العلاقة بين درجة التعرف على الكلام (VCV) (Vowel-perception- Vowel) وبين قيمة MIC (Monaural interaction component) حيث يمثل MIC مكون التفاعل الأحادي الكهربائي العصبي.

ويتبين من الشكل أن ثمانية من المرضى كان أداء التعرف وتمييز الأحرف لديهم أكثر من 40% بينما الثمانية الآخرون كانوا أقل من 40%.



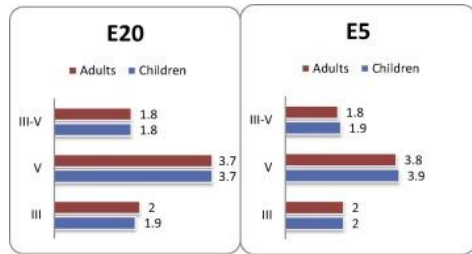
يوضح الشكل (2) نموذج تنبؤي لأداء التعرف على الكلام من خلال التفاعل الكهربائي المقاس بواسطة eABR [2].

"Electric auditory brainstem response (E-ABR) in cochlear implant children: Effect of age at implantation and duration of implant use".

كانت المناقشة حول مدى تأثير العمر عند الزرع والعمر السمعي من خلال استجابة eABR على أطفال الزرعة [4].

طبق اختبار eABR على 24 حالة زراعة حلزون وسجلت المخططات باستخدام نوعين من الأقطاب (5 أقطاب - 20 قطبًا) وبشدات مختلفة، قيست العتبة السمعية وزمن ظهور الموجتين الثالثة III والخامسة V لكل مخطط eABR.

بيّنت هذه الدراسة أن استجابة eABR للإلكترود الكهربائي 5 (الإلكترود القمي) أفضل بالنسبة لموقع القاعدي (الإلكترود 20) كما أن استجابات eABR للأطفال لا تختلف عنها عند البالغين، أما عمر زرع القوّة فيرتبط مع زمن الكمون لwaves eABR والعتبات السمعية لها.



بيّن الشكل (4) زمن ظهور واتساع الموجتين (V - III) عند كل من الإلكترودين (5-20) للأطفال والبالغين وفق الدراسة [4] وقد خلصت الدراسة إلى النتائج التالية:

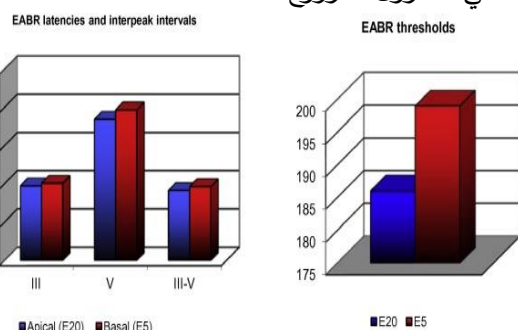
- البارامترات الخاصة بمخيط جذع الدماغ الكهربائي eABR من زمن ظهور الموجات III-V والعتبة السمعية تختلف بين مخططات eABR الناتجة باختلاف الأقطاب الكهربائية. - لا يوجد اختلافات في استجابات eABR بين الأطفال والكبار. وكانت الخلاصة أن اختبار eABR هو الطريقة الفعالة لتقدير الوظائف السمعية بعد إجراء عملية زراعة الحلزون المزروع [4].

ثانياً - الهدف من البحث:

- الحصول على استجابات مستقرة ودقيقة استخلاصت بشكل كهربائي من خلال اختبار (eABR) عند أطفال زراعة

النتائج: عتبات استجابة جذع الدماغ الكهربائي مرتبطة وبشكل واضح مع كل من: السلوك - والمستويات السمعية والذي تم تسجيلهم بعد تطبيق

مستويات التبيّه الكهربائي المسموع على مستخدمي الحلزون المزروع في الدراسة، هناك علاقة مترابطة واضحة بين قم الموجتين V-III والفترات الزمنية بين ظهورهم والمسجلة عند الإلكترود المزروع في قمة الحلزون ومقدار فهم وتميز الجمل المستخدمي الحلزون المزروع.



بيّن الشكل (3) زمن ظهور واتساع الموجتين (V - III) بالنسبة للأطفال والبالغين وفق الدراسة [4].

الخلاصة: إن استجابة جذع الدماغ السمعي الكهربائي أثناء عملية زراعة الحلزون، يمكن أن يستخدم لتأسيس مستويات سمعية من أجل معايرة معالج الصوت الخاص بالحلزون المزروع، كما أنها تساعد الخبراء المختصين في التخطيط للمزيد من الإجراءات والتي تهدف إلى تحسين الأداء السمعي لمستخدمي الحلزون المزروع، وكانت الخلاصة تتمثل بأن اختبار تخطيط جذع الدماغ الكهربائي eABR يقدم معلومات سريرية موثوقة لمساعدة الفنيين والخبراء بإعادة التأهيل السمعي لمستخدمي الحلزون المزروع [3].

الدراسة الثالثة [4]:

قام بها نثرين محمد سعيد عبد السلام - وحدة السمعيات قسم الأذن والأذن والحنجرة - كلية الطب - جامعة عين شمس - القاهرة - مصر، عام (2015) بعنوان:

"استجابة تخطيط جذع الدماغ الكهربائي eABR على أطفال الحلزون المزروع وتقدير أثر العمر عند الزرع وال عمر السمعي"

الحلزون المزروع:

الحزون المزروع هو عبارة عن جهاز إلكتروني يزرع جراحيًا داخل الأذن الداخلية وتحديداً ضمن الحزون يتحدد الأجزاء غير عاملة في الأذن الداخلية ويقوم بتحفيز مباشر للخلايا العصبية كهربائياً داخل الحزون وتنتقل الإشارة بعدها عبر العصب السمعي إلى الدماغ.

يمكن التفكير في زراعة الحلزون عندما يكون فقدان السمع عميقاً مع وجود سمع ضئيل أو معدوم ولم تقدم المعيينات السمعية أي فائدة [5].

يتكون جهاز الحزون المزروع من أجزاء داخلية وخارجية [6]:

الأجزاء الخارجية: تتكون من ميكروفون ومعالج كلام ومرسل وسالك رابط وأما الأجزاء الداخلية: فتتكون من المستقبل ومصفوفة الأقطاب الكهربائية (الإلكترودات): والتي تقوم بتحفيز وإثارة الألياف العصبية في الحزون مما يولد إشارات كهربائية ترسل إلى العصب السمعي فالدماغ لتحليلها كما هو موضح بالشكل (6).



الشكل (6) يوضح الجزء الخارجي (A) والجزء الداخلي (B) من الحزون المزروع [8].

المخطط الصندوقى لآلية عمل الحزون المزروع.

الحلزون، -تقييم الوظائف السمعية للأطفال زراعة الحلزون من خلال دراسة بaramترات مخطط جذع الدماغ الكهربائي eABR والتي بدورها تعطينا صورة عن أداء كل من: الحلزون المزروع والعصب السمعي. -تسليط الضوء على أهمية اختبار eABR وأثره الفعال في التقييم السمعي للأطفال بعد إجراء زراعة الحلزون المزروع وخلال مراحل مختلفة من العمر بعد الزرع.

ثالثاً - مواد وطرق البحث:

يوضح الشكل (5) المخطط العام لمراحل البحث:

البحث في المراجع الطبية والهندسية والدراسات المرجعية.

وضع بروتوكول خاص بتطبيق اختبار eABR

تطبيق اختبار eABR على عينة البحث

مقارنة بارامتراط eABR مع البار امترات السمعية

التحليل الإحصائي

التقييم السمعي

الاستنتاجات

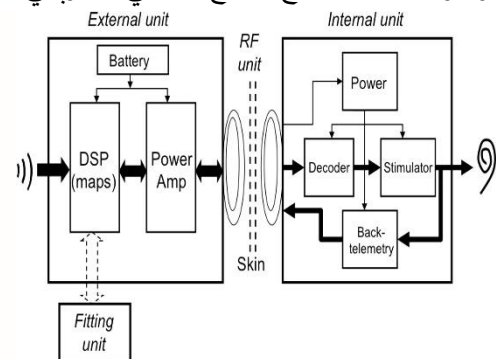
الشكل(5) المخطط العام للبحث

رابعاً- الجانب النظري من البحث:

سنتحدث في هذا القسم عن الحذون المزروع ومكوناته ومبادراته، وعن اختبار تخطيط جذع الدماغ السمعي الكهربائي.

تقليل كثافة الإشارة في نطاقات التحليل والتي تشمل بشكل أساسي على الضجيج، وتعزيز شدة الإشارة داخل نطاقات التحليل المحددة لتشمل الكلام بشكل أساسي).

قبل استخدام المريض لنظام الحزون المزروع يقوم اختصاصي السمع ببرمجة معالج الصوت بهدف تحديد حجم التيار المطلوب عند كل إلكترود (عادة ما يتوافق الإلكترود ضمن المصغوفة المزروعة مع نطاق تحليل خاص مرتبط بجهة الاتصال في المجال الطيفي) لتسهيل السمع وكذلك لإحداث الإحساس بالصوت، هي عملية يشار إليها باسم MAPping (أي تحديد النطاق الديناميكي الكهربائي لمنتقين الزرعة بحيث يمكن تعين النطاق المطلوب من المدخلات الصوتية في النطاق الكهربائي لسمع المنتقى بهدف استعادة السمع والتعود على الأصوات العالية). بعد أن يتم تحليل الإشارة الصوتية طيفياً وتخصيصها لنطاقات تحليل مختلفة، يخضع الخرج من النطاقات المختلفة للتسجيل والترشيح (مرشح تمرير تردد منخفض LPPF) من أجل الحفاظ على مطال الإشارة (يتم الإحتفاظ فقط بالمكونات الموجودة فوق خط الصفر وذلك لمحافظة على الهيكل الزمني الدقيق للإشارة الصوتية كما هو موضح بالشكل (5)), بعد ذلك واستناداً إلى المعلومات التي تم الحصول عليها أثناء عملية MAPping يحدد معالج الصوت حجم التحفيز الذي يجب تسليمه للحصول على إمكانية السمع والإدراك المناسب لمستوى الإشارة الصوتية المدخلة. يقوم بعد ذلك معالج الإشارات الرقمية بتحويل الإشارة المعالجة إلى إشارة كهربائية مشفرة يتم تسليمها إلى ملف الإرسال الخارجي والذي يقوم بدوره بنقل الإشارة عبر جلد المريض إلى ملف الاستقبال الداخلي للحزون المزروع عن طريق التحريض الكهرومغناطيسي الرقمي (RF) بتردد موجة حاملة تتراوح بين 2.5 إلى 50 ميغا هرتز، تحدد الإشارة التي يتم إرسالها من المعالج إلى الحزون المزروع كيف يجب أن يقدم الحزون المزروع التحفيز الكهربائي المطلوب للعصب السمعي، مع العلم بأن الزرعة الداخلية لا تحتوي على مصدر طاقة لذلك يتم

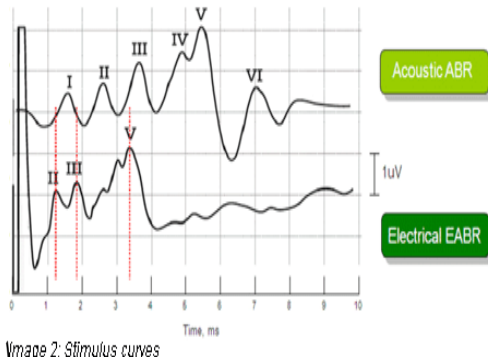


الشكل (7) المخطط الصناعي لأآلية عمل الحزون المزروع [9].

يقدم الشكل (8) الوظيفة الأساسية لنظام الحزون المزروع. يلقط الميكروفون (معالج الصوت الخارجي) الإشارة الصوتية الواردة ويحولها إلى إشارة كهربائية، يتم تسليم الإشارة الكهربائية إلى المضخم الأولي الذي يقوم بتضخيم الإشارة وزيادة مطالها من أجل تحسين نسبة الإشارة إلى الضجيج قبل المتابعة بمعالجة الإشارة، يقدم المضخم الأولي زيادة تمرير الترددات العالية للإشارة الصوتية (مرشح تمرير تردد عالي HPF)، لأن أصوات الكلام تعتبر عالية التردد مثلًا حرف (S) والتي عادة ما تكون أقل شدة وأكثر عرضة للتشویش والإخفاء بالمقارنة مع التردد المنخفض للكلام أو مع الأصوات البيئية المحيطة، بعد ذلك يتم تحليل الإشارة بواسطة معالج الإشارات الرقمية لتحديد مكونات الصوت (التردد، الشدة) في هذه المرحلة من العملية يتم تقسيم الإشارة إلى نطاقات تحليل مختلفة (على سبيل المثال نطاقات التردد أو الفنوات) للسماح بمعالجة خاصة للتردد وإيصال التحفيز النهائي، يتم معالجة الإشارة المدخلة المكثفة ضمن مجالات التحليل الطيفي والذي ينجذب باتقان وبشكل نموذجي عن طريق الترشيح الرقمي (على سبيل المثال: تحويل فورييه، تحويل هيلبرت)، خلال هذه المرحلة يمكن أن يقوم معالج الصوت بتصنيف الإشارة على أنها كلام أو ضجيج أو أشكال أخرى من الإشارات الصوتية، وتنتمي معالجة الإشارات بهدف تحسين توصيل الإشارة إلى المستقبل (على سبيل المثال:

داؤود

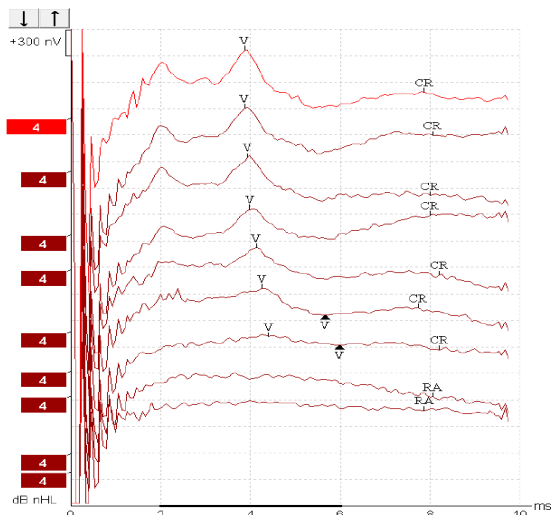
ABR - التوضع والعدد. يوضح الشكل (9) مخطط (eABR).



الشكل (9) مخططات (ABR – eABR)

يبين الشكل (9) الفرق بين مخططي ABR و eABR من حيث البارمترات (مطال الموجات V-III, III-V, زمن ظهور الموجات .(V-III).

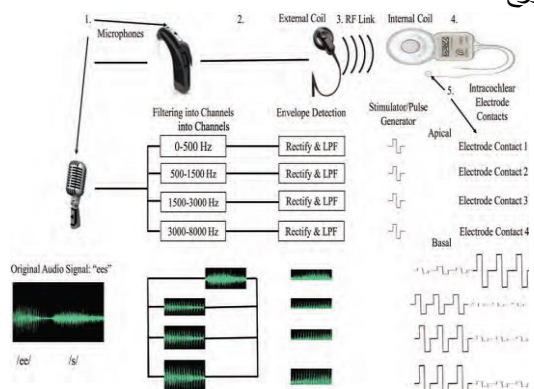
يبيّن الشكل (10) مخطط eABR عند تطبيق التبيّه الكهربائي على أحد إلكترودات (الإلكترود رقم 4 المتوضع في المنطقة المتوسطة ضمن شريط الحزون



الشكل(10) مخطط eABR عند الإلكترود رقم (4) حيث يوضح اتساع ووضوح الموجة V عند زيادة شدة التنبية المطبقة على الإلكترود رقم 4 [12].

خامساً- الجانب العملي للبحث:

دراسة بارامترات تخطيط جذع الدماغ السمعي الكهربائي عند الأطفال استخدام إشارة التردد اللاسلكي المنشئة من معالج الصوت لتشغيل الزرعة الداخلية، بمجرد ان تستقبل الزرعة الإشارة التردد اللاسلكي الرقمية يتم تحليلها بواسطة معالج الإشارات الرقمية، تمتلك الزرعة مولد نبضات ينتج باستمرار نبضات كهربائية ثنائية الطور بمعدل ثابت ومتوسط إلى سريع (نموجيا يعمل في نطاق 800 إلى 1600 نبضة في الثانية)، يتم تعديل مطال هذه النبضات الكهربائية بحجم مطال الإشارة في كل نطاق تحليل كما في الشكل (5)، بمعنى آخر يتاسب مطال النبضات الكهربائية طرديا مع مطال الإشارة الأصلية. بعد ذلك يتم تسليم النبضات الكهربائية ذات المطال المحدد إلى أقطاب الإلكترودات التي تتوافق مع نطاق تحليل معين، مع الانتباه إلى أنه لا يتم توصيل نبضة كهربائية في نفس اللحظة إلى الإلكترودين مختلفين [8]، يوضح الشكل (8) آلية عمل الحزرون



الشكل (8) آلية عمل الحذون المزروع [10].

2- اختبار تخطيط جذع الدماغ الكهربائي:

استجابة الدماغ السمعية الكهربائية (eABR) هي قياس ABR باستخدام التحفيز الكهربائي، بدلاً من التبليه الصوتي التقليدي، الغرض من الاختبار هو تحديد ما إذا كان العصب السمعي يستجيب كما هو متوقع للتحفيز الكهربائي وذلك في حالة زراعة الحزرون، مع ملاحظة أن إلكترودات الاقتباس هي نفسها في حال اختبار ABR و eABR من حيث النوع.

دراسة بaramترات تخطيط جذع الدماغ السمعي الكهربائي عند الأطفال بعد الأطفال
ستتحدث في هذا القسم عن مختبر البحث وعينة الدراسة وعن
البيانات الناتجة لأطفال العينة ومخططات ABR الناتجة عن
البحث.

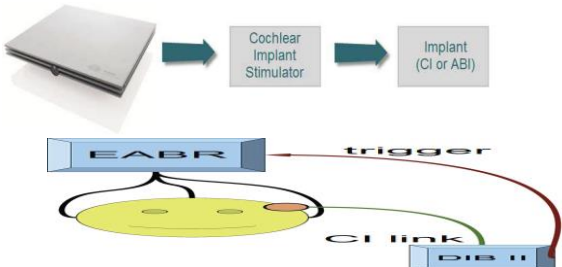
-2 بيانات الأطفال وبaramترات الاختبار الناتجة [13]:

تم تطبيق اختبار eABR لمرة واحدة على 13 طفل وبقي
طفلين لم نتمكن من انتهاء الاختبار لعدم تعاونهم معنا أثناء
الاختبار.

يبين الجدول (1) بيانات الأطفال (عمر الطفل- نوع نقص
السمع- هل هناك تجربة للسماعات قبل أو لا- العمر الذي تم
فيه الزرع - العمر السمعي). وبaramترات الاختبار الناتجة من
(شدة التيار التببي المطبق- سعة الموجة الخامسة - زمن
الكمون Latency) والتي تم الحصول عليها من مخطط eABR
الناتج وبرنامج Maestro الخاص بجهاز تببي الحلزون
المزروع MAX. وبaramترات السمعية (معدل العتبة السمعية
PTA) - عتبات تميز (Pure Tone audiometer) Average PTA
- معدل الكلام (Speech Recognition Thresholds) SRT
تميز الكلام WRS (Word Recognition Score) والتي تم
الحصول عليها من ملفات التقييم السمعي للأطفال المتوفرة في
منظمة آمال.

1- مختبر البحث وعينة الدراسة:

تم تطبيق اختبار eABR على 15 طفل تم زراعة الحلزون
لهم في المنظمة السورية للأشخاص ذوي الإعاقة -آمال في
سوريا، تتراوح أعمارهم بين (4-9) سنوات وحالة واحدة 16
سنة وال عمر السمعي Hearing Age بين (6-2) سنوات، وذلك
بعد تجهيز مختبر البحث بالأجهزة والملحقات اللازمة للاختبار
وهي عبارة عن جهاز تخطيط جذع الدماغ ECLIPS من
شركة Interacoustics وجهاز تببي الحلزون MAX من شركة
MEDEL الخاص بالحلزون المزروع، يوضح الشكل (8)
البروتوكول المتبعة في البحث لإجراء تخطيط eABR
يبين الشكل (11) البروتوكول المتبوع في البحث لإجراء
تخطيط eABR .



الشكل (11) البروتوكول المتبوع في تطبيق اختبار eABR [11].

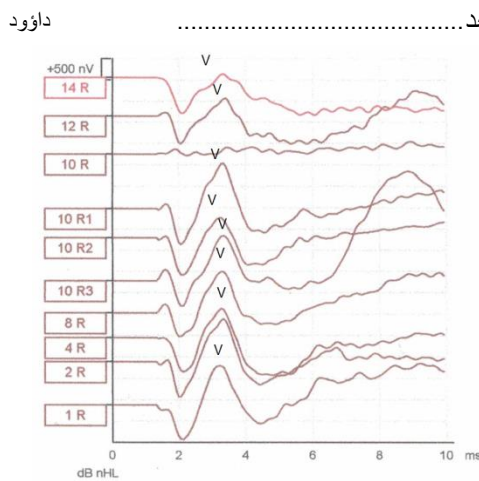
الجدول(1) بيانات الأطفال الناتجة عن تطبيق اختبار eABR

WRS	SRT	PTA	زمن الكمون	سعة الموجة الخامسة	شدة تيار التبيه المطبق (cu)	العمر السمعي	العمر الذي تم فيه الزرع	تجربة السمات قبل	نوع نقص السمع	العمر	الاسم
88%	30 db HL	db 35 HL	3.5 ms	عند 1500 nv ألكترودات الزرع من (10-11). أما إلكترودات (12) فالمطال 1000nv	700 cu عند e(1-10) e(11-12) 1000 cu 12)	5 سنوات	3 سنوات للأذن اليمنى	نعم	نقص سمع حسي عصبي عميق ثنائي الجانب	8 سنوات	الحالة الأولى
90%	30db HL	30db HL	3.5m s	عند 300 nv e(1-10) عند 150 nv e(12)	e(1-800 cu 10) 1100 cu e(12)	5 سنوات	3 سنوات للأذن اليمنى	نعم	نقص سمع حسي عصبي عميق ثنائي الجانب	8 سنوات	الحالة الثانية
	30 dbHL	30 db HL	4 ms	عند 600 nv e(1-10) عند 700 nv e(12)	900cu ألكترودات الزرع	4 سنوات	3 سنوات للأذن اليمنى	لا	اعتلال عصبي عميق ثانوي الجانب	7 سنوات	الحالة الثالثة
	35 db HL	40db HL	3.5 cms (1-4)	عند 1200nv 4) عند 1500 nv e(10) عند 500 nv (12) e(10-12)	e(1-900 cu 10) 1100 cu e(12)	4 سنوات	3 سنوات للأذن اليسرى	نعم	نقص سمع حسي عصبي عميق ثنائي الجانب	7 سنوات	الحالة الرابعة
	30 db HL	35 db HL	4ms	عند 1000nv e(1-10) غير واضحة عند e (12)	e(1- 900cu 10) 1100 (12)	سنة وشهرين	4 سنوات و 10 أشهر	نعم	نقص سمع حسي عصبي عميق ثنائي الجانب	6 سنوات	الحالة الخامسة
	30 db HL	35 db HL	4 ms	e(2-800nv 12) غير واضحة عند الإلكترود 1	e 1100 cu (1) e(2- 900 cu 12)	3 سنوات ونصف	3 سنوات ونصف	نعم	نقص سمع حسي عصبي عميق ثنائي الجانب	7 سنوات	الحالة السادسة

دراسة بارامترات تخطيط جذع الدماغ السمعي الكهربائي عند الأطفال بعد داود

الحالة السابعة ة	نقص سمع حسي عصبي شديد ثنائي الجانب	نعم	للأذن اليمنى 16 سنة	3 سنوات	1100cu إلكترودات الزرع	وضوح الموجة الخامسة	تمييز الكلام جيد	30 db HL	35 db HL	-	30 db HL	35 db HL	وضوح الموجة 3 وعدم وضوح الموجة الخامسة
الحالة الثانية ة	نقص سمع حسي عصبي عميق ثنائي الجانب	نعم	للأذن اليمنى 16 سنة	3.5 سنوات	1100cu إلكترودات الزرع	وضوح الموجة 3 إفـى حد ما وعدم وضوح الموجة الخامسة	تميـز الكلـام ضعـيف وهو يعتمدـ في التـواصل عـلى لـغـة الـإـشـارـة	30 db HL	35 db HL	-	30 db HL	35 db HL	وضوح الموجة 3 إفـى حد ما وعدم وضوح الموجة الخامسة
الحالة النـاسـعـة ة	نقص سمع حسي عصبي عميق ثنائي الجانب	نعم	لـلـأـذـنـ الـيـمـنـىـ ـ3ـ سـنـوـاتـ	6 سنوات	900 cu ـ8ـ	e(1- 900 cu ـ8ـ)	e(1000nv (2-8) ـعـنـدـ 400nv ـعـنـدـ e(10-12)	35 db HL	35 db HL	4ms	e(10-12)	e(10-12)	ـعـنـدـ 1250nv ـعـنـدـ e(1-10) ـعـنـدـ 500 nv ـعـنـدـ e(12)
الحالة الـعـاـشـرـة	نقص سمع حسي عصبي عميق ثنائي الجانب	نعم	لـلـأـذـنـ الـيـمـنـىـ ـ3ـ سـنـوـاتـ	3 سنوات	900 cu	ـعـنـدـ كـامـلـ	ـعـنـدـ 1250nv ـعـنـدـ e(1-10) ـعـنـدـ 500 nv ـعـنـدـ e(12)	30 db HL	30 db HL	4 ms			
الـحـالـةـ الـحـادـيـةـ عـشـرـ	نقص سمع حسي عصبي عميق ثنائي الجانب	نعم	لـلـأـذـنـ الـيـمـنـىـ ـ3ـ سـنـوـاتـ	4 سنوات	900 cu	ـعـنـدـ كـامـلـ	e(1- 1000nv ـ6ـ) ـعـنـدـ 750nv ـعـنـدـ e(10) ـعـنـدـ 600 nv ـعـنـدـ e(12)	30 db HL	35 db HL	4ms			
الـحـالـةـ الـثـانـيـةـ عـشـرـ	نقص سمع حسي عصبي عميق ثنائي الجانب	نعم	لـلـأـذـنـ الـيـمـنـىـ ـ3ـ سـنـوـاتـ	5 سنوات	900 cu ـ10ـ	e(1- 900 cu ـ10ـ)	e(15000nv ـe (1-4) ـعـنـدـ 1000nv ـعـنـدـ e (6-10) ـعـنـدـ 600 nv ـعـنـدـ e(12)	30 db HL	35 db HL	4 ms			90%
الـحـالـةـ الـثـالـثـةـ عـشـرـ	نقص سمع حسي عصبي عميق ثنائي الجانب	نعم	لـلـأـذـنـ الـيـمـنـىـ ـ3ـ سـنـوـاتـ	3 سنوات	900 cu ـ12ـ	e(1- 900 cu ـ12ـ)	e(1500nv ـe (4) ـعـنـدـ 800nv ـعـنـدـ e(6) ـعـنـدـ 700nv ـعـنـدـ e(10) ـعـنـدـ 500 nv ـعـنـدـ e(12) ـعـنـدـ 250 nv	25 db HL	30 db HL	4ms			

3- مخطّطات الناتجّة: eABR



الشكل(12) مخطط eABR للحالة الأولى

- إن ظروف العمل كانت مثالية وهذا يعطي

دراسة بaramترات تخطيط جذع الدماغ السمعي الكهربائي عند الأطفال بعد داء و معرض فيما يلي مخططات eABR الناتجة عند - مخطط eABR واضحًا وشبه مثالي.

تطبيق التبيه الكهربائي على الحلزون المزروع عند - زيادة في اتساع ووضوحية الموجة الخامسة V في الحالات 13 (المحور العمودي يمثل رقم الإلكترود كلما زدنا في شدة التبيه المطبق على الإلكترود. والمحور الأفقي يمثل زمن ظهور الموجة ms) - انخفاض في وضوحية الموجة عند الإلكترودات.

الحالة الأولى:

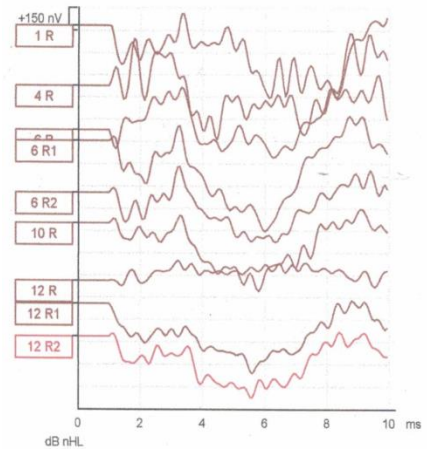
القاعدية (11-12).

يبين الشكل(12) مخطط eABR للحالة الأولى:

- نجد أن معدل تمييز الكلام في هذه الحالة جيد.

الحالة الثانية:

يبين الشكل(13) مخطط eABR للحالة الثانية:



الشكل(13) مخطط eABR للحالة الثانية

نلاحظ من مخطط eABR الناتج:

- ظهور الموجة الخامسة V بزمن الإستجابة 3.5ms عند كل إلكترودات الحلزون المزروع.

- ظروف العمل كانت مثالية وهذا يعطي مخطط eABR واضحًا.

- نلاحظ زيادة في اتساع ووضوحية الموجة الخامسة V كلما زدنا في شدة التبيه المطبق على الإلكترود. انخفاض في وضوحية الموجة عند الإلكترودات القاعدية

- ظهور الموجة الخامسة V بزمن الإستجابة 4 ms نفسه تقريبا عند كل إلكترودات الحلزون.

- غموض بالموجة الخامسة كلما اتجهنا نحو قاعدة الحلزون حالة الإلكترود 12.

- زيادة اتساع الموجة الخامسة V عند زيادة شدة التبيه.

الحالة الثالثة:

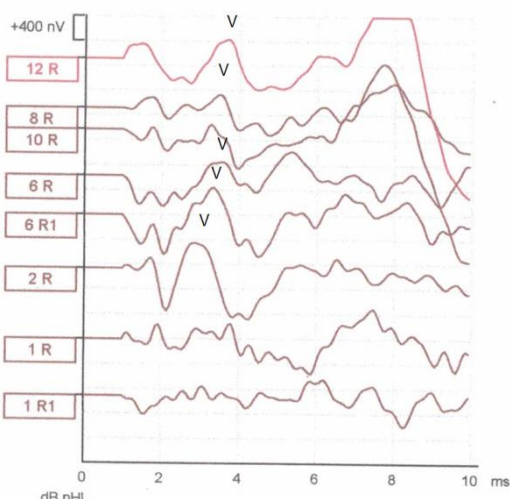
دراسة بارامترا تخطيط جذع الدماغ السمعي الكهربائي عند الأطفال بعد داء داء زندي (11-12).

- زيادة في اتساع ووضوحية الموجة الخامسة V كلما زدنا في شدة التبيه المطبق على الإلكترود.

eABR - ظروف العمل كانت مثالية وهذا يعطي مخطط واضحًا (شكل الأمواج واضحة تماماً، المخطط حال من التشويش. زمن الاستجابة واحد عند كل الإلكترودات...) - انخفاض في وضوحية الموجة عند الإلكترودات القاعدية (12).

الحالة السادسة:

يُبيّن الشكل (17) مخطط eABR للحالة السادسة



الشكل (17) مخطط eABR للحالة السادسة

نلاحظ من مخطط eABR الناتج:

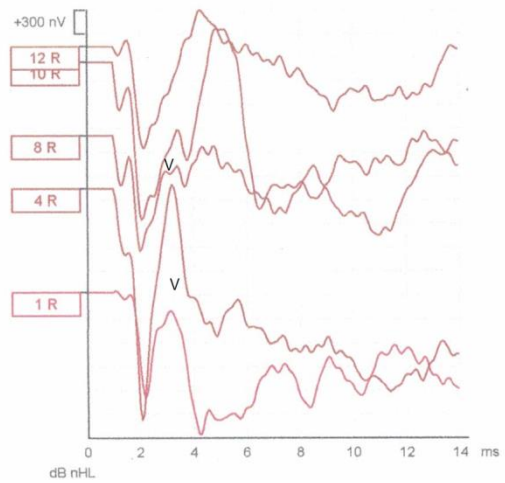
- ظروف العمل كانت مثالية وهذا يعطي مخطط واضحًا (شكل الأمواج واضحة تماماً، المخطط حال من التشويش. زمن الاستجابة واحد عند كل الإلكترودات...) - نلاحظ زيادة في اتساع ووضوحية الموجة الخامسة V كلما زدنا في شدة التبيه المطبق على الإلكترود.

- ظهور الموجة الخامسة V بزمن الاستجابة 4 ms عند كل إلكترودات الحذون باستثناء الإلكترود رقم 1 رغم إعادة الإختبار أكثر من مرة وزيادة شدة التبيه دون أن نحصل على موجة خامسة واضحة.

الحالة السابعة:

يُبيّن الشكل (18) مخطط eABR للحالة السابعة

يُبيّن الشكل (15) مخطط eABR للحالة الرابعة



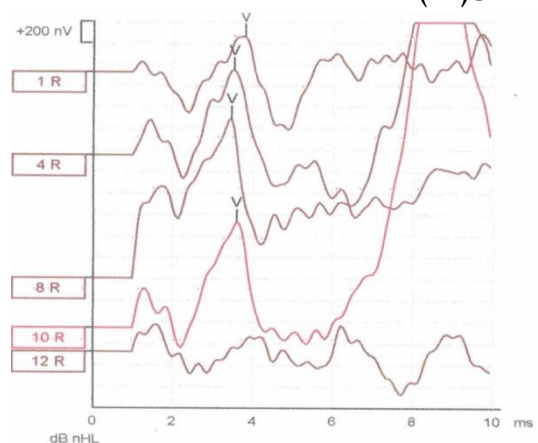
الشكل (15) مخطط eABR للحالة الرابعة

نلاحظ من مخطط eABR الناتج:

- زيادة في اتساع ووضوحية الموجة الخامسة V كلما زدنا في شدة التبيه المطبق على الإلكترود. - انخفاض في وضوحية الموجة عند الإلكترودات القاعدية (11-12).

الحالة الخامسة:

يُبيّن الشكل (16) مخطط eABR للحالة الخامسة

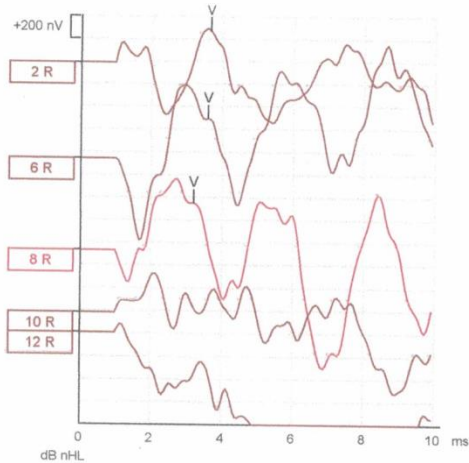


الشكل (16) مخطط eABR للحالة الخامسة

نلاحظ من مخطط eABR الناتج:

دراسة بaramترات تخطيط جذع الدماغ السمعي الكهربائي عند الأطفال بعد داء ود

يبين الشكل(20) مخطط eABR للحالة التاسعة



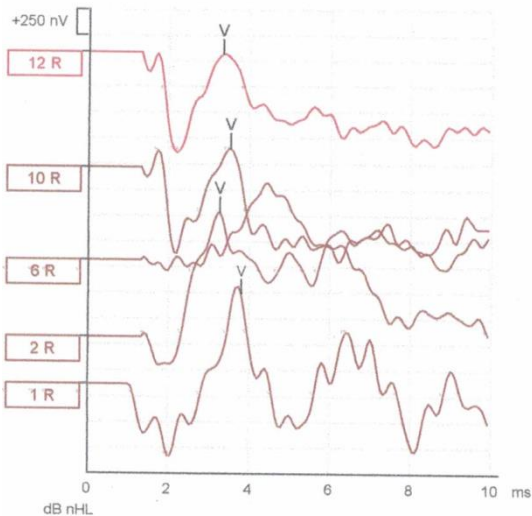
الشكل(20) مخطط eABR للحالة التاسعة

نلاحظ من مخطط eABR الناتج:

- سجل مقدار من التشويش الكهربائي أثناء تطبيق اختبار eABR (واضح على المخططات).
- انخفاض في وضوحية الموجة عند الالكتروdes القاعدية (11-12).

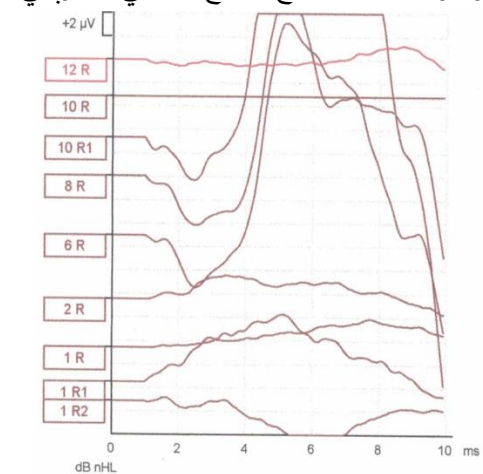
الحالة العاشرة:

يبين الشكل(21) مخطط eABR للحالة العاشرة.



الشكل(21) مخطط eABR للحالة العاشرة.

نلاحظ من مخطط eABR الناتج:



الشكل(18) مخطط eABR للحالة السابعة

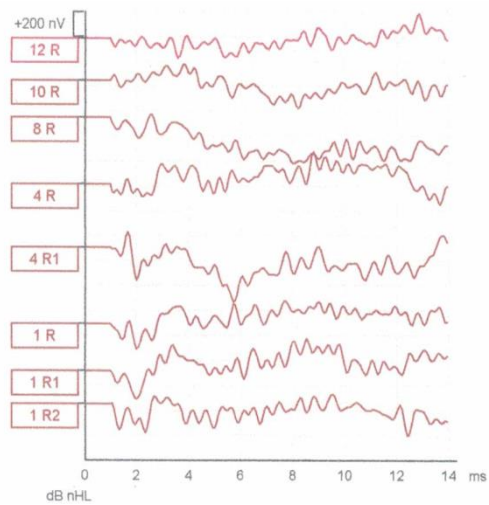
نلاحظ من مخطط eABR الناتج:

- المخطط يحوي على تشويش عالي ناتج عن عدم توفر ظروف عمل مثالية.

- ظهور الموجة III وعدم ظهور الموجة V.

الحالة الثامنة:

يبين الشكل(19) مخطط eABR للحالة الثامنة



الشكل(19) مخطط eABR للحالة الثامنة

نلاحظ من مخطط eABR الناتج:

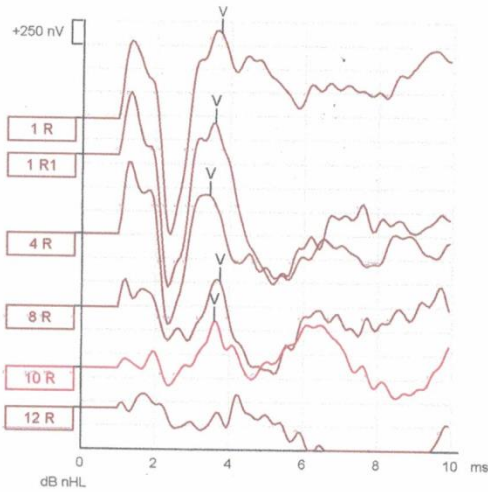
- ظهور الموجة III وعدم ظهور الموجة V وتم تسجيل مقدار كبير من التشويش في هذا المخطط بسبب عدم توفر ظروف عمل مثالية.

الحالة التاسعة:

- دراسة بارامترا تخطيط جذع الدماغ السمعي الكهربائي عند الأطفال بعد داء ورد
 - ظروف العمل كانت مثالية وهذا يعطي مخطط eABR واضحاً.
 - زيادة في اتساع ووضوحية الموجة الخامسة V كلما زدنا في شدة التبيه المطبق على الإلكترود.
 - انخفاض في وضوحية الموجة عند الإلكترودات القاعدية (11-12).

الحالة الثالثة عشر:

يبين الشكل (24) مخطط eABR للحالة الثالثة عشر



الشكل (24) مخطط eABR للحالة الثالثة عشر.

نلاحظ من مخطط eABR الناتج:

- ظروف العمل كانت مثالية وهذا يعطي مخطط eABR واضحاً.
 - زيادة في اتساع ووضوحية الموجة الخامسة V كلما زدنا في شدة التبيه المطبق على الإلكترود.
 - انخفاض في وضوحية الموجة عند الإلكترودات القاعدية (11-12).

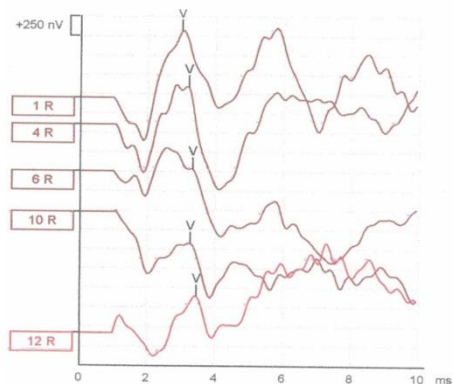
بالنسبة للحالتين الرابعة عشر والخامسة عشر لم نتمكن من إتمام اختبار eABR وتحليل النتائج لذلك تم استبعادهم من الدراسة.

سادساً - تحليل النتائج:

من قراءة ودراسة مخططات eABR التي تم الحصول عليها من الحالات الـ 13 يمكن الاستنتاج:

- زيادة في اتساع ووضوحية الموجة الخامسة V كلما زدنا في شدة التبيه المطبق على الإلكترود.
- الحالة الحادية عشر:

يبين الشكل (22) مخطط eABR للحالة الحادية عشر



الشكل (22) مخطط eABR للحالة الحادية عشر.

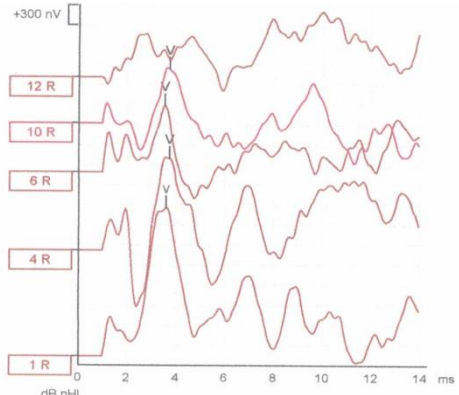
نلاحظ من مخطط eABR الناتج:

- ظروف العمل كانت مثالية وهذا يعطي مخطط eABR واضحاً.

- زيادة في اتساع ووضوحية الموجة الخامسة V كلما زدنا في شدة التبيه المطبق على الإلكترود.

الحالة الثانية عشر:

يبين الشكل (23) مخطط eABR للحالة الثانية عشر



الشكل (23) مخطط eABR للحالة الثانية عشر.

نلاحظ من مخطط eABR الناتج:

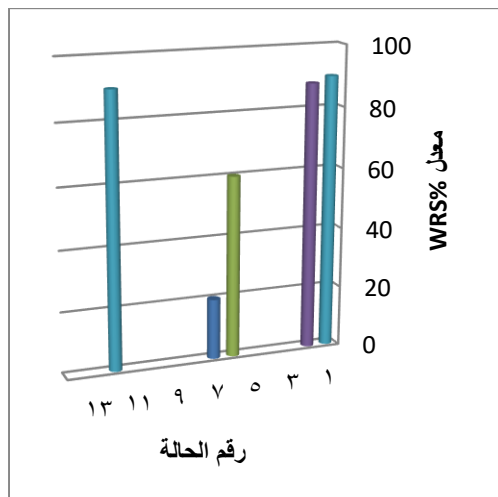
داورد

..... دراسة بارامترا تخطيط جذع الدماغ السمعي الكهربائي عند الأطفال بعد

- يوجد علاقة بين شدة التبيه المطبق على الإلكترود وبين وضوح مخطط eABR الناتج وتحديداً الموجة الخامسة وذلك حسب رقم الإلكترود.
لاحظنا بأنه لا يمكن تمييز الموجة الأولى والثانية من مخططات eABR الناتجة.

- زمن الوصول للأمواج في مخطط eABR هو أقل منها في حال مخطط جذع الدماغ التقليدي ABR وذلك بسبب التبيه الكهربائي المباشر للمسار العصبي السمعي من قبل الحزون المزروع فيكون زمن الوصول للموجة الخامسة حوالي 1.5-4 ms، أما في حالة ABR فإن التبيه يكون عن طريق السماعات الهوائية ومنها مجرى السمع الخارجي فالعظيمات السمعية وبعدها الحزون ليتم بعدها تبيه النهايات العصبية للعصب السمعي حيث يكون زمن الوصول في هذه الحالة من 4-6 ms عند الشدات الصوتية العالية (90db- 80db).

- لا يوجد انزياح لزمن الوصول للموجة مع تغير شدة التبيه.



الشكل(25) معدل تمييز الكلام WRS عند كل حالة

- يوجد اختلاف في موجات مخططات eABR وذلك حسب رقم الإلكترود المنبه من الحزون المزروع، فمثلاً الإلكترود رقم (1) يعطي استجابة أوضح (أكبر مطال- أفضل شكل للموجة الخامسة....)، وهذا واضح عند أغلب الحالات باستثناء الحالة السادسة).

- أما الإلكترود رقم (12) من مصفوفة الإلكترودات الحزون المزروع يعطي استجابة غير واضحة (مطال أقل للموجة الخامسة- شكل غير واضح للموجة- زمن ظهور الموجة الخامسة أكبر نسبياً).

(كما هو الحال في الحالات 1-2-3-4-5-9-12-13)، يمكن تفسير ذلك بأنه يتم إدخال كافة الإلكترودات الحزون داخل قناة الحزون الطبيعي باستثناء الإلكترود الأخير رقم (12) يبقى خارج النافذة المدورة للحزون أو قريباً منها، وقد ينتج ذلك عن وجود انسداد أو تشوّه في القناة في قمة الحزون الطبيعي.

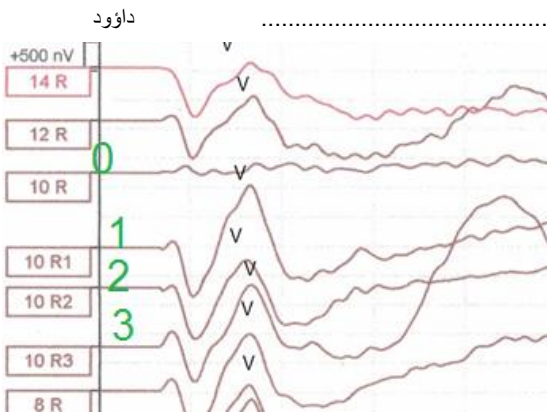
- وجدنا في الحالة السادسة عدم وضوح الموجة الخامسة V عند الإلكترود رقم (1) وهو الإلكترود المتواضع في قمة الحزون، وهذا يحتاج إلى دراسة إحصائية أوسع لدراسة العلاقة بين غياب الموجة الخامسة عند أي إلكترود وبين معدل تمييز الكلام والعتبة السمعية وما هو سبب غياب الموجة الخامسة.

- تم الحصول على مخططات eABR عند الأطفال عند أعمار تتراوح بين (4-9) سنوات وكانت النتائج متماثلة باختلاف الأعمار ولم يكن هناك احتلاف بدقّة الاستجابة حسب عمر الزرعة.

وهذا يعطينا نتيجة مهمة وهي عدم تأثير أداء الحزون المزروع (تحديداً الإلكترودات) بمراحل النمو عند الأطفال في الحالة الطبيعية (وهذا يتوافق مع الدراسة المرجعية الثالثة).

- عدم وضوح الموجة الخامسة V بالمقارنة مع الموجة الثالثة III في الحالتين (7-8).

دراسة بارامتراً تخطيط جذع الدماغ السمعي الكهربائي عند الأطفال بعد داء داود



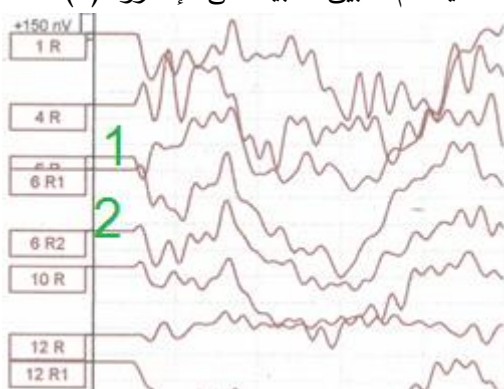
الشكل (27) يبين وضوح الموجة 7 عند زيادة شدة التنبية المطبق على الإلكترود 10.

وكان الجدول التالي:

الجدول (2) العلاقة بين شدة التنبية وبين سعة 7

سعة الموجة (nv) (V)	شدة التنبية (cu)	رقم مخطط eABR عند الإلكترود 10
0	200	0
1000	700	1
500	500	2
1000	700	3

الحالة الثانية: تم تطبيق التنبية على الإلكترود (6)

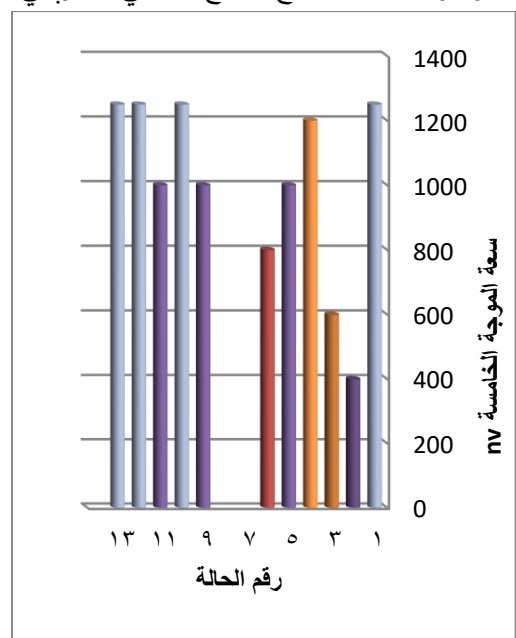


الشكل (28) يبين وضوح الموجة 7 عند زيادة شدة التنبية المطبق على الإلكترود 6.

وكان الجدول التالي:

الجدول (2) العلاقة بين شدة التنبية وبين سعة 7

سعة الموجة (nv) (V)	شدة التنبية (cu)	رقم مخطط eABR عند الإلكترود 6
125	500	1
200	800	2



الشكل (26) سعة الموجة 7 عند كل حالة

بعد قراءة كل من الشكل (9) والشكل (10) نجد أنه لا يوجد علاقة واضحة بين سعة الموجة الخامسة V ومعدل تمييز الكلام، وأن هناك علاقة بين غياب الموجة الخامسة V ومعدل تمييز الكلام.

سابعاً - دراسة العلاقة بين شدة التنبية المطبقة eABR وبين سعة الموجة الخامسة من مخطط eABR الناتج:

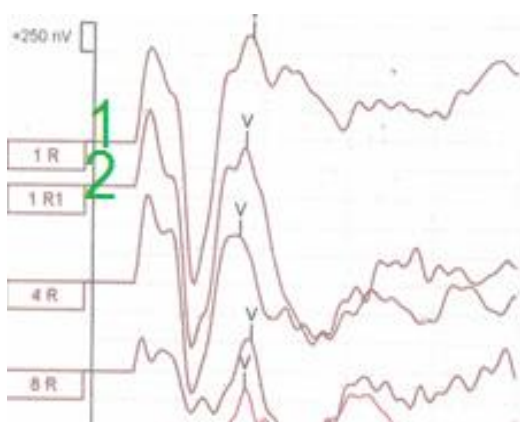
قمنا بتغيير قيمة شدة تيار التنبية (cu) المطبق على الكترود واحد عند أربع حالات (الحالة الأولى - الحالة الثانية - الحالة السادسة - الحالة الثالثة عشر) وقياس سعة الموجة الخامسة (V) عند كل قيمة، يمكن اعتبار خط الصفر هو الخط المستقيم في مخطط eABR قبل البدء بتسجيل اشارة جذع الدماغ السمعي الكهربائي ويمكن حساب مطال واتساع الموجة الخامسة بالاتجاه الموجب بالنسبة لخط الصفر.

الحالة الأولى: تم تطبيق التنبية على الإلكترود (10)

الحالة السادسة: تم تطبيق التبيه على الـelectrode (6)

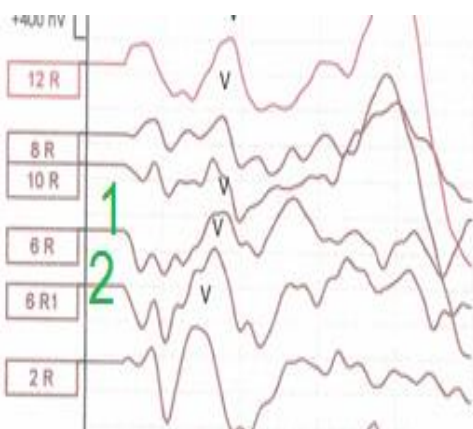
الجدول (4) العلاقة بين شدة التبيه وبين سعة V

سعة الموجة (V) (nv)	شدة التبيه (cu)	eABR رقم مخطط عند الإلكترود 1
750	900	1
300	500	2



الشكل (30) يبين وضوح الموجة V عند زيادة شدة التبيه المطبق على الإلكترود 1.

نلاحظ من الجداول (2، 3، 4، 5) أن هناك علاقة طردية واضحة بين شدة التبيه المطبق على الإلكترود الجلذون eABR المزروع وبين سعة الموجة الخامسة (V) لمخطط الناتج وهذا يتوافق مع المرجع [12]



الشكل (29) يبين وضوح الموجة V عند زيادة شدة التبيه المطبق على الإلكترود 6.

وكان الجدول التالي:

الجدول (3) العلاقة بين شدة التبيه وبين سعة V

سعة الموجة (V) (nv)	شدة التبيه (cu)	eABR رقم مخطط عند الإلكترود 6
200	500	1
400	900	2

الحالة الثالثة عشر: تم تطبيق التبيه على الإلكترود رقم

(1) كان هناك تشويش كهربائي واضح على المخطط الناتج ومع ذلك كان الجدول التالي:

ثامناً- التحليل الإحصائي:

تم جمع قيم البيانات السمعية لعينة الدراسة والمذكورة بالجدول رقم (1) على جدول إكسل Excel وبعدها تم إجراء التحليل

الجدول (2) دراسة التوزع الطبيعي للعينات

	Age العمر	Hage العمر السمعي	NV سعة الموجة الخامسة	LAT زمن ظهور الموجات	PTA معدل العتبة السمعية	SRT عتبة تمييز الكلام
حجم العينة N	13	13	13	13	13	13
Normal Mean	8.1538	3.8231	1057.6923	3.8846	33.8462	30.7692
Parameters ^{a,b} (الغفح راف)	Std. Deviation	3.38738	1.24777	345.11239	.21926	2.99572
Most Extreme Differences (الاختلافات)	Absolute Positive	.364	.178	.203	.470	.342
	Negative	.364	.136	.182	.299	.273
		-.262	-.178	-.203	-.470	-.342
Kolmogorov-Smirnov Z	1.313	.641	.731	1.694	1.234	1.365
Asymp. Sig. (2-tailed)	.063	.806	.659	.006	.095	.048

الجدول (3) (جدول الارتباط) دراسة الإرتباط بين كل العمر السمعي Hearing age و زمن الكمون LATENCY و معدل تمييز الكلام SRT و سعة الموجة الخامسة NV.

	Hage العمر السمعي	LAT زمن ظهور الموجات	PTA معدل العتبة السمعية	SRT عتبة تمييز الكلام	NV سعة الموجة الخامسة
Hage	Pearson Correlation	1	-.385	.052	.524
العمر السمعي	Sig. (2-tailed)		.193	.865	.941
	N	13	13	13	13
LAT	Pearson Correlation	-.385	1	-.220	-.527
زمن ظهور	Sig. (2-tailed)	.193		.471	.064
	N	13	13	13	13
PTA	Pearson Correlation	.052	-.220	1	.617*
معدل العتبة السمعية	Sig. (2-tailed)	.865	.471		.025
	N	13	13	13	13
SRT	Pearson Correlation	.524	-.527	.617*	1
عتبة تمييز الكلام	Sig. (2-tailed)	.066	.064	.025	.905
	N	13	13	13	13
NV	Pearson Correlation	-.023	.095	.251	.037
سعة الموجة NV	Sig. (2-tailed)	.941	.757	.408	.905
	N	13	13	13	13

من جدول الإرتباط نجد أن: - العمر السمعي HAGE مرتبط - لا يوجد ارتباط واضح بين سعة الموجة NV مع كل من PTA, SRT, NV

مع عتبة تمييز الكلام SRT ارتباط بسيط.

لا يوجد ارتباط واضح بين زمن الكمون LATENCY مع

سعة الموجة NV

- هناك ارتباط بين معدل العتبة السمعية PTA وبين عتبة

SRT، NV

- هناك ارتباط بين عتبة تمييز الكلام SRT وبين عتبة

تمييز الكلام SRT

الجدول (4) المقارنة بين زمن الكمون LAT (زمن ظهور الموجات)

وشدة التيار المطبق cu.

	CU	N	Mean	Std. Deviation	Std. Error Mean
LAT	less than 1000	5	3.8000	.27386	.12247
	more than 1000	8	3.9375	.17678	.06250
NV	less than 1000	5	950.0000	469.04158	209.76177
	more than 1000	8	1125.0000	254.95098	90.13878

نجد من هذا الجدول أنه لا يوجد اختلاف مهم بين زمن الكمون وبين المطال (ذو معنى إحصائي).

إن نتائج التحليل الإحصائي قد تكون غير كافية بسبب حجم عينة الدراسة (نحتاج إلى عدد أكبر من حالات الدراسة، ويمكن أن يتم ذلك مستقبلاً بعد أن تم تطبيق اختبار eABR محلياً، وهذا يفتح لنا المجال للقيام بدراسات وأبحاث عديدة أخرى ذات صلة).

تاسعاً- خاتمة البحث:

- ✖ بعد إجراء البحث وتطبيق اختبار eABR على أطفال الزرع بنجاح، أصبح بإمكاننا تطبيق اختبار eABR بعد عملية زراعة الحذون للتأكد من نجاح عملية الزرع وأنه لا توجد اختلالات جراحية، كما يمكن اقتراح وضع اختبار eABR ضمن بروتوكول التقييم السمعي للأطفال في العمر التي يصعب فيه القيام باختبار تميز الكلام WRS وذلك بشكل دوري أو عند الضرورة للتأكد من أداء إلكترودات الحذون المزروع بعد عملية زراعة الحذون وخلال مدة حياة الطفل، كما يمكن تطبيق اختبار eABR على أطفال الزرع عند حدوث طارئ في حالة المريض السمعية (السمع - النطق - التواصل الاجتماعي) أو في حالة المريض الصحية (التهابات حادة - رضوض في منطقة الزرعة...). حيث يلجأ إلى اختبار eABR عند حصول حدث طارئ للحذون المزروع [4].

✖ تم تسلیط الضوء على أحد أهم الاختبارات eABR والتي يمكن تطبيقها على إلكترودات الحذون المزروع وتحديداً بعد عملية الزرع حيث طبق الاختبار على عدد من مرضى الزرع في منظمة آمال وتم الحصول على مخططات eABR ضمن ظروف العمل المتاحة.

✖ ظهور الموجة الخامسة (V) بمخطط eABR عند كل إلكترود يدل على فعالية الإلكترود في إحداث التبيه الكهربائي المطلوب لخلايا العصب السمعي وهذا يعطي بالنتيجة سماع التردد المتفق لمنطقة الإلكترود المزروع ضمن الحذون الطبيعي كما هي الحال في الحالة (1, 2, 12) عند المقارنة مع معدل تميز الكلام WRS لكلا الحالتين.

✖ عدم ظهور الموجة الخامسة (V) أو وضوحاً بمخطط eABR للإلكترود الذي يتم تبيهه يشير إلى ضعف فعالية

قائمة المصطلحات والاختصارات:

ABR	Auditory Brainstem Response	تخطيط جذع الدماغ
eABR EABR	Electric Auditory Brainstem Response	تخطيط جذع الدماغ الكهربائي
CI	Cochlear Implant	زراعة الحزون
SRT	Speech Recognition Thresholds	عقبات تمييز الكلام
WRS	Word Recognition Score	معدل تمييز الكلام
PTA	Pure Tone audiometer Average	معدل العتبة السمعية
V	Fifth wave	الموجة الخامسة
III	Third wave	الموجة الثالثة

التمويل: هذا البحث ممول من جامعة دمشق وفق رقم التمويل (501100020595).

10- Brad A. Stach, PhD. (2020). Cochlear Implant Audiologic Management and Considerations for Implantable Hearing Devices. Plural Publishing, Inc. Friesens Canada. PP:18-23.

11- Verster, Jorina. (2018). "Electrical Auditory Brainstem Response (E-ABR) the Postoperative Electrical Auditory Brainstem Response wave V Morphology and Latency in Cochlear Implant". CNSSA 10th Annual congree. PP:59.

12- Polterauer, Danial. (2020). "Intraoperative and Postoperative Measurement of Brainstem Response through Electrical Stimulation of the Auditory Nerve via Implantable Neurostimulators". PATH Medical Sentiero Advanced. LMU KLINIKUMMunich, Germany. Pag: 13.

13- داؤود، علاء. (2022). "التقييم السمعي للأطفال بعد إجراء زراعة الطizzون من خلال تطبيق اختبار استجابة جذع الدماغ السمعي الكهربائي". ماجستير. الهندسة الطبية. كلية الهندسة الميكانيكية والكهربائية. جامعة دمشق. سوريا. ص: 111.

References:

- 1- Abdelsalam, N., (2015). " Electric auditory brainstem response (E-ABR) in cochlear implant children: Effect of age at implantation and duration of implant use ". Egyptian Journal of Ear, Nose, Throat and Allied Sciences. Volume16, Issue 2, PP.145-150.
- 2- Danieli, Fabiana. (2021). "Clinical Implantation of intraoperative eABRs to the Evo CI electrode array recipients". Brazilian Journal of Otorhinolaryngology, volume 88, pages: 108-117.
- 3- Guevara, N., Hoen, M., Truy, E. (2016). " (A Cochlear Implant Performance Prognostic Test Based on Electrical Field Interactions Evaluated by eABR (Electrical Auditory Brainstem Responses)". doi.10.1371/ Journal. pone. 0155008. PMID: 27149268, PMCID: 485814.
- 4- White HJ, Helwany, M petson DC. (2022). "Anatomy, head and neck ear organ of corti". Statpearls, NCBI www.ncbi.nlm.nih.gov.
- 5- Ramsden RT (2002). "Cochlear implants and brain stem implants". British medical bulletin; pp:183-93.
- 6- Bond M, Mealing S, Anderson R, et al.(2009). "The effectiveness and costeffectiveness of cochlear implants for severe to profound deafness in children and adults: a systematic review economic model". Health technology assessment; pp: 1-330.
- 7- Foust, Terry. (2015). "Audiology IOI: an Introduction to Audiology for Nonaudiologists". NCHAM, National Center for Hearing Assessment and Management Utah State University. PP: 5-1, 5-15.
- 8- Kamal, Ayman, (2017). "Comparison between Behavioral, Modified Brown, ECAP, ESRT, Approaches in Cochlear Implant fitting in Adults". Published by: Juniper publishers Inc, United States. PP:1-9.
- 9- Zena, Fan, et al. (2015). Development and Evaluation of the Nurotron 26 electrodes Cochlear Implant System, hearing research, pp: 322-188-199.